

# УПРУГОЕ ДИФРАКЦИОННОЕ РАССЕЯНИЕ АДРОНОВ НА ЛЕГЧАЙШИХ ЯДРАХ

Г.Н.Величко, А.А.Воробьев, Г.А.Королев, С.И.Манаенков, А.В.Ханзадеев

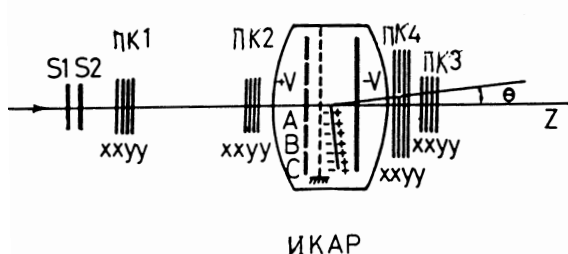
## Введение

Разработанная в ПИЯФ экспериментальная методика позволила выполнить серию прецизионных экспериментов по изучению упругого рассеяния пионов и нуклонов на ядрах водорода, дейтерия и гелия в области малых углов. Импульсная ионизационная камера ИКАР, являющаяся основой всей установки, использовалась в измерениях как при промежуточных энергиях на ускорителях в Гатчине и Сакле, так и при высоких энергиях в Серпухове и на SPS в CERN. Достоинством использовавшейся методики является возможность измерения дифференциальных сечений с точностью 1-2 %. Были измерены дифференциальные сечения упругого рассеяния и анализирующая способность, получены данные о полных сечениях и отношениях реальных частей к мнимым частям амплитуд изучавшихся процессов, найдены экспериментальные ограничения на величины спин-спиновых нуклон-нуклонных ( $NN$ ) амплитуд. Эти экспериментальные данные заметно повлияли на результаты фазовых анализов и во многих случаях прояснили актуальный и поныне вопрос о существовании дибарионных резонансов. В результате измерений удалось извлечь полные адрон-ядерные сечения, что дало возможность найти неупругую теневую поправку к глауберовским сечениям.

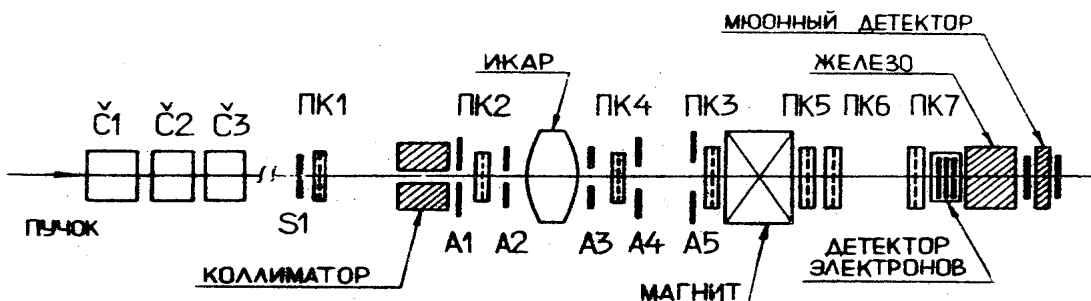
Полученные прецизионные данные позволили решить некоторые актуальные проблемы, но, что, возможно, еще важнее, поставили новые вопросы, не решенные и поныне. В данной работе мы кратко опишем экспериментальную установку и использовавшиеся методики. Затем остановимся на важнейших физических результатах, полученных при изучении  $NN$ -рассеяния при промежуточных энергиях, а также на проблемах описания адрон-ядерного рассеяния.

## Экспериментальная установка

Схема установки несколько менялась в разных экспериментах. Опуская детали, которые можно найти в [1], [2], мы изложим лишь физические принципы работы установки, показанной на рис. 1 и 2. Ионизационная камера ИКАР, наполненная газом ( $^2\text{H}$ ,  $^2\text{D}$ ,  $^4\text{He}$ ,  $\text{CH}_4$ ) до давления 10-15 атм, служила одновременно мишенью и детектором ядер отдачи ( $p$ ,  $d$ ,  $^4\text{He}$ ). Кроме того, внешним детектором (системой пропорциональных камер) измерялся угол рассеяния частиц  $\theta$ , что значительно снижало уровень фона. В первом способе определения квадрата переданного импульса использовалась формула  $-t = 2M_R T_R$ , где  $M_R$  - масса, а  $T_R$  - кинетическая энергия ядра отдачи, измеренная детектором ИКАР. В этом случае можно было достичь разрешения  $\Delta t \sim 10^{-4}$  (ГэВ/с)<sup>2</sup>. Этот способ наиболее эффективен при малых  $t$ , особенно в области интерференции амплитуд кулоновского и сильного взаимодействий. Второй способ определения квадрата переданного ядру импульса  $t$  использовал соотношение  $|t| = p^2 \theta^2$ , где  $p$  – импульс рассеиваемой частицы. Он применялся при сравнительно больших ( $\sim 200$  МэВ/с) передачах.



**Рис. 1.** Схема экспериментальной установки.  $S_1, S_2$  – сцинтилляционные счетчики, ПК1-ПК4 – пропорциональные камеры, ИКАР – детектор ядер отдачи.



**Рис. 2.** Схема расположения установки на пучке ускорителя SPS в CERN.  $\check{C}1$  – дифференциальный черенковский счетчик,  $\check{C}2, \check{C}3$  – пороговые черенковские счетчики,  $S$ ,  $A$  – сцинтилляционные счетчики, ПК – пропорциональные камеры.

В схеме, применявшейся при промежуточных энергиях в экспериментах в Гатчине (рис. 1), пропорциональные камеры ПК1 и ПК2 определяли входной угол пучка. Угол вылета быстрой частицы находился по координате в ПК3, ПК4 и по точке рассеяния, измеряемой спектрометром ИКАР. Сцинтилляционные счетчики  $S_1$ - $S_2$  использовались для мониторирования пучка. Пропорциональные камеры ПК1-ПК3 и счетчики  $S_1$ - $S_2$  образовывали триггерную систему, вырабатывающую импульс для запуска детектора ядер отдачи ИКАР. Отбирались лишь частицы, рассеянные на угол, больший некоторого заданного. Коэффициент отбора был  $\sim 10^2$ , что уменьшало фон случайных совпадений. Рассеянные частицы проходили вблизи оси ионизационной камеры (оси  $Z$ ). Разность времен анодного и катодного сигналов позволяла определить координату  $Z$  точки взаимодействия. В случае упругого рассеяния на малый угол трек ядра отдачи почти параллелен плоскостям анодов А и В и катода (рис. 1). Если пробег частицы отдачи не превышает внешний радиус анода В, представляющего собой кольцо, сумма амплитуд сигналов на анодах  $V_A + V_B$  пропорциональна энергии частиц отдачи  $T_R$ . Калибровка энергетической шкалы была проведена по углу рассеяния частиц при энергии 1 ГэВ, а также с помощью  $\alpha$ -источников, помещенных на катоде. Разрешение ( $\sigma$ ) по энергии отдачи было  $\sim 50$  кэВ. Частицы отдачи, вылетевшие за анод В, оставляют в рабочем объеме лишь часть своей энергии, причем с ростом  $T_R$  сумма сигналов на анодах падает. Это означает, что одному значению  $V_A + V_B$  отвечают две энергии ядра отдачи  $T_1$  и  $T_2$ . Большой энергии  $T_2$  отвечает больший угол  $\theta$ , что позволяет путем измерения  $\theta$  однозначно восстановить величину  $T_R$  по калибровочной кривой  $V_A + V_B = f(T_R)$ .

На рис. 2 показана схема размещения оборудования при работе на пучках высокой энергии. Для идентификации вторичных частиц применялись два пороговых черенковских счетчика и один дифференциальный черенковский счетчик, а также детекторы электронов

и мюонов. Для магнитного анализа ( $\Delta p/p = \pm 0.5\%$ ) использовался широкоапертурный отклоняющий магнит и система камер ПК5-ПК7. Импульс пучка измерялся еще одним магнитным спектрометром с пропорциональными камерами. Угол между импульсом ядра отдачи и плоскостью анодов определялся по величине фронта анодного сигнала и по разности времен прихода сигналов на аноды А и В.

## Изучение нуклон-нуклонных амплитуд

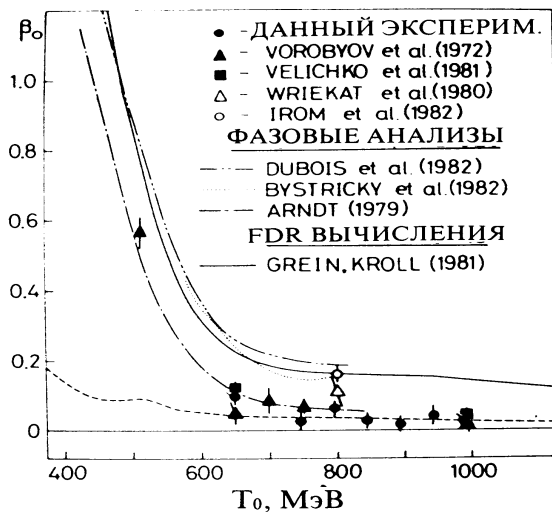
Знание нуклон-нуклонных ( $NN$ ) амплитуд является фундаментом для описания дифракционного рассеяния адронов промежуточных и высоких энергий на ядрах. Полученная экспериментальная информация аккумулирована в фазовом анализе, для однозначного выполнения которого необходимо сделать полный опыт. Он включает в себя измерение дифференциальных сечений и поляризационных параметров как упругого  $pp$ -, так и  $pr$ -рассеяния при одной и той же энергии. Изучение  $NN$ -амплитуд активно велось в 70-80-е годы на многих ускорителях, включая синхроциклотрон ПИЯФ. Ниже мы обсудим лишь эксперименты по рассеянию на малые углы, в которых использовался детектор ядер отдачи ИКАР. В работах [3], [4] были измерены абсолютные дифференциальные сечения упругого  $pp$ -рассеяния на синхроциклотроне ПИЯФ в диапазоне энергий 650 – 1000 МэВ, а также сечения и анализирующая способность в  $pr$ -рассеянии на пучке поляризованных нейтронов в Сакле в интервале энергий 378 – 1135 МэВ.

Из полученных данных были найдены параметры наклона дифракционного конуса  $b$  и отношение при  $t = 0$  суммы квадратов модулей спин-спиновых амплитуд к квадрату мнимой части скалярной амплитуды ( $\beta_0$ ) как для  $pp$ -, так и для  $pr$ -рассеяния. Поясним идею метода для случая  $pr$ -рассеяния, дифференциальное сечение которого при малых переданных импульсах можно записать в виде

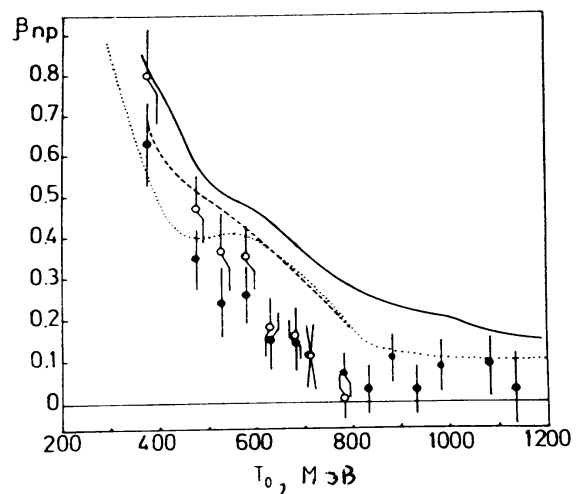
$$\frac{d\sigma}{dt} = \frac{\sigma_{tot}^2}{16\pi} (1 + \rho_0^2 + \beta_0) \exp\{bt\} = \left. \frac{d\sigma}{dt} \right|_{t=0} \exp\{bt\}. \quad (1)$$

Величина полного сечения неполяризованных нуклонов  $\sigma_{tot}$  бралась из мировых экспериментальных данных. Отношение реальной части к мнимой для скалярной  $pr$ -амплитуды рассеяния на нулевой угол  $\rho_0$  бралось из работы Грейна и Кролла (1982), которые нашли  $\rho_0$  из дисперсионных соотношений. Свободные параметры  $\beta_0$  и  $b$  находились из полученных данных по дифференциальным сечениям. Формула (1) позволяет, минуя сложную процедуру фазового анализа, дать оценку на сумму квадратов модулей спин-спиновых  $pr$ -амплитуд. В случае упругого  $pp$ -рассеяния формулу (1) надо заменить более сложной, учитывающей кулоновское рассеяние. Но именно из-за кулон-ядерной интерференции величина  $\rho_0$  может быть найдена непосредственно из полученных данных по  $d\sigma/dt$ . Ее значение хорошо согласуется с результатами расчетов по дисперсионным соотношениям. Из рис. 3 видно, что величина  $\beta_0$  с ростом энергии пучка  $T_0$  быстро убывает и становится меньше 0.1 уже при  $T_0 = 1$  ГэВ как для  $pr$ -, так и  $pp$ -рассеяния. Из сравнения кривых с экспериментальными точками видно, что фазовые анализы, как правило, завышают величины спин-спиновых амплитуд (точнее их вещественных частей). Это связано с тем, что фазовые анализы были выполнены в отсутствие данных по малоугловому рассеянию.

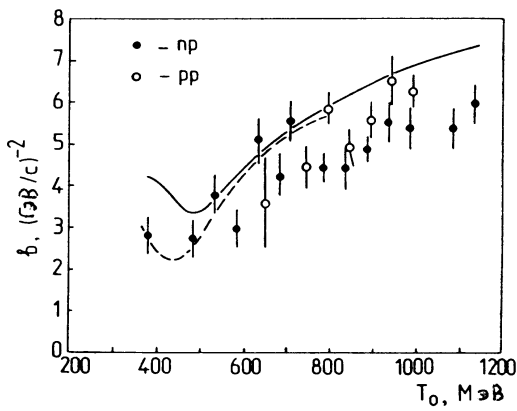
Знание параметра наклона дифракционного конуса  $b$  важно для описания нуклон-ядерного рассеяния, но может использоваться также и для определения параметров дифракционных резонансов, которые активно ищутся до сих пор. Из рис. 4а видно, что значение параметра  $b$ , полученное в [3], [4], качественно согласуется с предсказаниями фазовых ана-



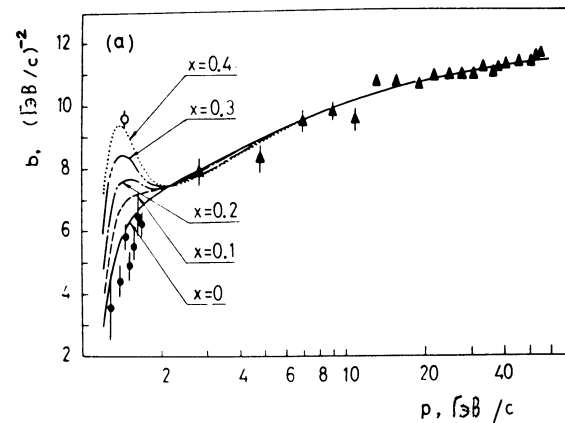
**Рис. 3а.** Зависимость  $\beta_0$  от энергии для  $pp$ -рассеяния. Величина  $\beta_0$  определена в тексте. Кривые – результаты фазового анализа и расчета по дисперсионным соотношениям (FDR). Рисунок взят из [3].



**Рис. 3б.** Зависимость  $\beta_0$  от энергии для  $np$ -рассеяния. Сплошная и штриховая кривые – результаты фазового анализа, точечная кривая – расчет по дисперсионным соотношениям. Сплошные кружки – данные [4], откуда взят рисунок.



**Рис. 4а.** Зависимость  $b_{pp}$  и  $b_{np}$  от энергии пучка. Кривые – результаты фазового анализа. Экспериментальные данные получены в [3], [4].



**Рис. 4б.** Зависимость  $b_{pp}$  от импульса и от параметра упругости  $x$  дибарионного резонанса  $^3F_3$ . Экспериментальные точки: треугольники – Безногих и др. (1973), кружки – работа [3], откуда взят рисунок.

лизов Арндта и др. (1979, 1987) и Быстрицкого и др. (1982, 1987), выполненных до работ [3], [4]. Из рис. 5 видно, что эти же фазовые анализы разумно согласуются с данными по анализирующей способности  $A_{00n0}$ , полученными в [4], которые восполнили пробел в мировых  $np$ -данных при малых углах. На рис. 4б показан возможный вклад в  $b$  дибарионного резонанса  $^3F_3$ , где через  $x$  обозначена вероятность его распада на два протона (в упругий канал). Видно, что наилучшее согласие достигается при  $x = 0$ . В упругом  $pr$ -канале также не было обнаружено указаний на проявление дибарионных резонансов [4].

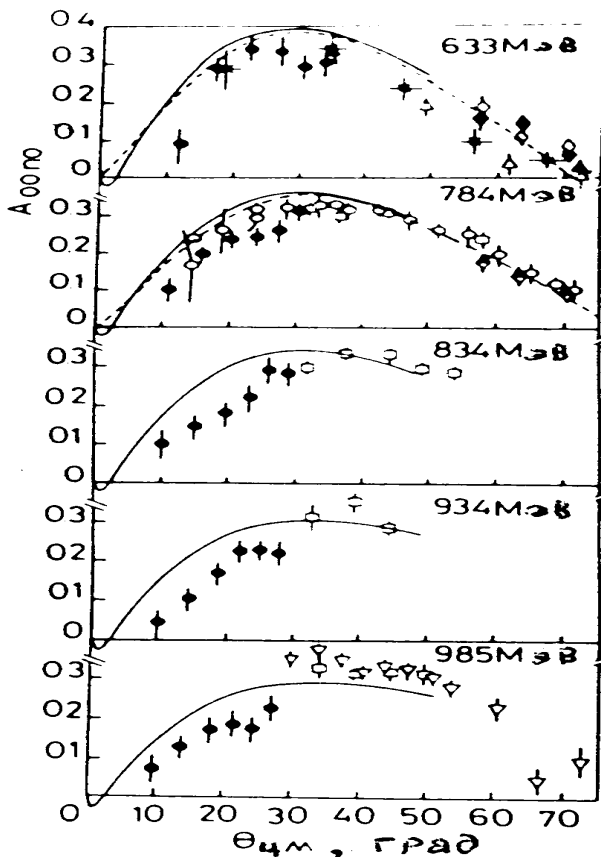
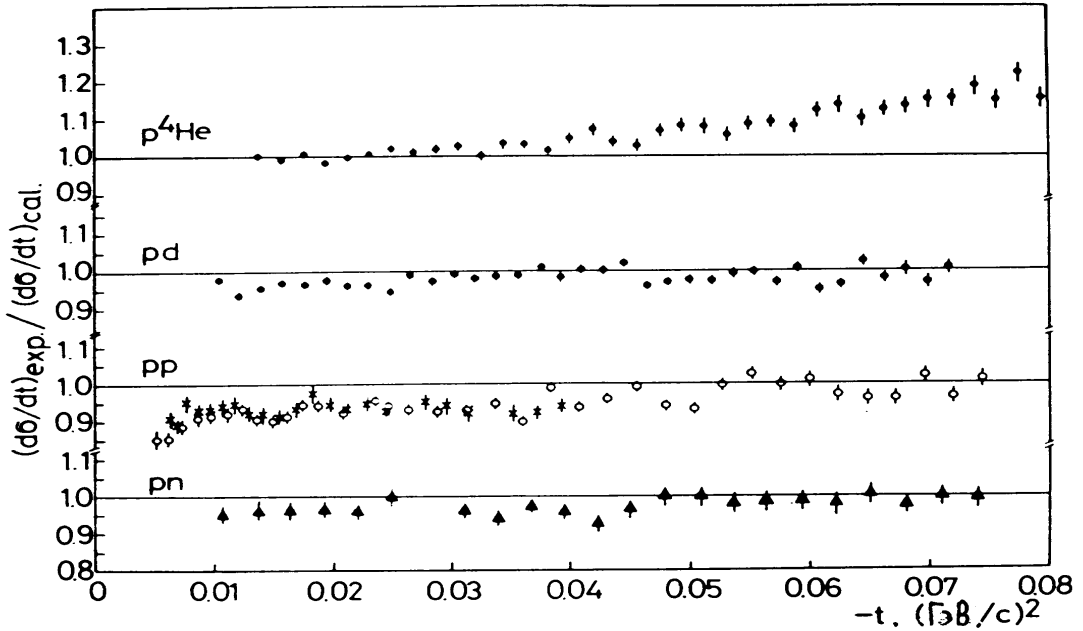


Рис. 5. Анализирующая способность  $pr$ -рассеяния. Кривые – результат фазовых анализов Арндта и др. и Легара и др. Эксперимент: сплошные кружки – работа [4], где даны подробные ссылки.

### Упругое рассеяние протонов на легких ядрах при промежуточных энергиях

Теоретической основой описания рассеяния адронов с энергией  $\geq 1$  ГэВ на ядрах на малые углы является дифракционная теория многократного рассеяния Глаубера-Ситенко. Она была успешно применена к описанию данных по рассеянию протонов и пионов промежуточных и высоких энергий на большой серии ядер от дейтрона до свинца [5]. Басселем и Вилкиным (1968) на основе теории Глаубера были описаны пионерские данные Брукхейвенской группы по рассеянию протонов с  $T_0 = 1$  ГэВ на  $^2\text{H}$ ,  $^4\text{He}$ ,  $^{12}\text{C}$  и  $^{16}\text{O}$ . Для углерода и кислорода использовались осцилляторные волновые функции, а описание рассеяния на  $^2\text{H}$  и  $^4\text{He}$  потребовало более рафинированных моделей. Опуская детали драматической истории изучения  $pd$ -рассеяния, отметим, что после учета вклада  $D$ -волнового компонента волновой функции дейтрона и всех пяти инвариантных  $NN$ -амплитуд, проблема описания нуклон-дейтронного дифракционного рассеяния может, по-видимому, считаться решенной. На рис. 6, взятом из работы [6], показано сравнение экспериментальных дифференциальных сечений, измеренных в [3], [4], [6], [7], [8] с помощью детектора ядер отдачи ИКАР при  $T_0 = 992$  МэВ, с расчетами. Из рис. 6 видно, что в случае дейтрана имеется прекрасное согласие с прецизионными данными, имеющими статистическую погрешность 1-3 % и ошибку абсолютной нормировки в 2 %. Из того же рисунка видно, что



**Рис. 6.** Отношение измеренных дифференциальных сечений к рассчитанным при  $T_0 = 992$  МэВ. Экспериментальные точки:  $pd$ ,  $p^4\text{He}$  – [6,7],  $pp$  – [3],  $pn$  – [4]. Детали расчета см. в [6], [8].

отношение экспериментального сечения к теоретическому в случае  ${}^4\text{He}$  растет с ростом  $|t|$ . Это расхождение наблюдается при всех измеренных в [6],[8] энергиях 695, 793, 890 и 991 МэВ и отвечает превышению рассчитанного параметра наклона дифракционного конуса сечения  $p^4\text{He}$ -рассеяния над экспериментальным значением  $b$  на величину 2-3  $(\text{ГэВ}/\text{с})^{-2}$ . Хотя величина  $b$  для  $p^4\text{He}$ -рассеяния равна, согласно [6],  $28 (\text{ГэВ}/\text{с})^{-2}$ , указанное отличие значимо, ибо соизмеримо по величине с  $b_{pp}$  и  $b_{np}$  при  $T_0 = 1 \text{ ГэВ}$  (см. рис. 4а). В чем же отличие расчетов, проведенных в [6], от более ранних вычислений Басселя и Вилкина, продемонстрировавших согласие с опытом? Во-первых, в более ранних работах при описании  $e^4\text{He}$ -рассеяния не учитывался зарядовый формфактор нейтрона. Его учет увеличивает радиус ядра гелия в соответствии с формулой

$$r_{He}^2 = r_{ch}^2 - r_p^2 - r_n^2, \quad (2)$$

так как "квадрат" зарядового радиуса нейтрона отрицателен и равен  $-0.126 \text{ Фм}^2$  (Ю.А.Александров и др. 1986). В (2)  $r_{ch}$  – зарядовый радиус  ${}^4\text{He}$ , равный, согласно прецизионным измерениям Бори и Ринкера (1978),  $1.673 \pm 0.001 \text{ Фм}$ . Зарядовый радиус протона в [6] брался равным  $0.812 \text{ Фм}$ . Учет нейтронного формфактора увеличивает расчетное значение  $b$  приблизительно на  $1 (\text{ГэВ}/\text{с})^{-2}$ , на что впервые обратили серьезное внимание в [9]. Во-вторых, Басселем и Вилкиным учитывался вклад только скалярных  $pp$ - и  $pn$ -амплитуд, причем параметры их наклона считались равными наклону дифракционного конуса сечения  $pp$ -рассеяния. В [6] учитывались все инвариантные  $NN$ -амплитуды, которые брались из фазового анализа. Согласно [6], вклад спин-спиновых  $NN$ -амплитуд в  $p^4\text{He}$ -рассеяние действительно очень мал. Однако, и это очень существенно, параметры наклона скалярных  $pp$ - и  $pn$ -амплитуд, дающих главный вклад в сечение  $p^4\text{He}$ -рассеяния, примерно на  $1.5 - 3 (\text{ГэВ}/\text{с})^{-2}$  больше соответствующих параметров наклона дифракционных конусов

сечений. Простейшее предположение, состоящее в том, что фазовый анализ дает завышенные значения  $b_{pp}$  и  $b_{np}$ , противоречит хорошему описанию  $pd$ -рассеяния (см. рис. 6) с помощью тех же  $NN$ -амплитуд. Более того, сечение  $pd$ -рассеяния наиболее чувствительно к тем же двум  $NN$ -амплитудам (скалярной и спин-орбитальной), что и  $\rho\alpha$ -рассеяние [6]. Другим объяснением могла бы быть гипотеза, состоящая в том, что радиус нейтронного распределения в  $\alpha$ -частице меньше протонного на величину  $\Delta r \approx 0.2$  Фм [9]. Но это предполагает сильное нарушение изотопической инвариантности, так как такое различие радиусов не может быть обусловлено кулоновским отталкиванием протонов.

В [6] учитывались френелевские поправки к теории Глаубера, ферми-движение нуклонов в  $^4\text{He}$ , вклады перезарядки нуклона и процесса возбуждения  $\Delta(1235)$ -изобары в промежуточном состоянии. Каждый из этих эффектов дает поправки порядка статистической ошибки экспериментальных данных [6], [8] и должен, поэтому, учитываться, но ни один из них не устраняет двадцатипроцентное расхождение в сечении при  $-t = 0.08$  ( $\text{ГэВ}/c$ )<sup>2</sup> (см. рис. 6). Волновая функция  $^4\text{He}$  в [6] была феноменологической с двумя параметрами, подобранными при описании электронных данных при  $|t| \leq 0.4$  ( $\text{ГэВ}/c$ )<sup>2</sup>. Она не содержала  $D$ -волнового компонента, на существование которого указывают как расчеты с реалистическими  $NN$ -потенциалами, так и эксперимент. Но вычисления, выполненные в [10] с двумя реалистическими волновыми функциями  $^4\text{He}$ , показали, что учет  $D$ -волнового компонента не решает проблему.

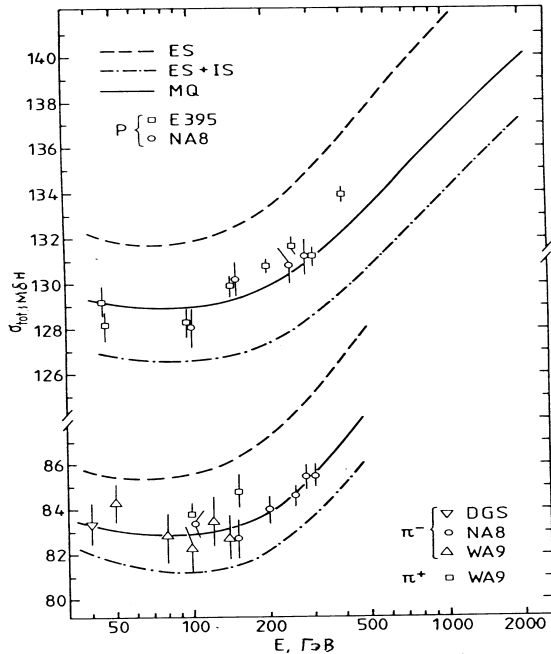
Нуклон состоит из夸克ов, взаимодействующих посредством глюонного обмена. Кварки подчиняются принципу Паули, поэтому, когда нуклоны близко подходят друг к другу на расстояния, сравнимые с их собственным радиусом, происходит перераспределение электрического заряда в нуклонах. Этот эффект приводит к нарушению соотношения (2). Радиус материи  $r_{He}$  с учетом кварковых обменных интегралов (их число равно 15399) может оказаться меньше того, который следует из (2). Это дало бы ключ к пониманию расхождения экспериментального и теоретического наклонов дифракционного конуса  $\rho\alpha$ -рассеяния. Но ожидания больших эффектов ферми-статистики кварков, основанные на компактности  $\alpha$ -частицы ( $r_{ch} = 1.67$  Фм,  $r_p = 0.8$  Фм), не оправдались: поправка к  $r_{He}$  оказалась  $\sim 10^{-2}$  Фм [11], что на порядок меньше необходимой величины. Причина малости кварковых эффектов состоит, согласно [11], в том, что величина поправок определяется малым параметром  $\lambda = (r_p/r_{He})^3/N_q$ , где  $(r_p/r_{He})^3 \approx 0.1$  – пространственный фактор, а  $N_q = 12$  означает число внутренних степеней свободы кварка (спиновых, изоспиновых и цветовых). Кроме того, обмены одной, двумя, тремя и т.д. парами кварков сильно взаимно сокращаются.

Таким образом, проблема описания наклона дифференциального сечения упругого  $\rho\alpha$ -рассеяния в рамках обычной ядерной физики осталась нерешенной. Возможно, это указывает на необходимость учета ненуклонных степеней свободы.

## Упругое $\rho\alpha$ - и $\pi\alpha$ -рассеяние при высоких энергиях

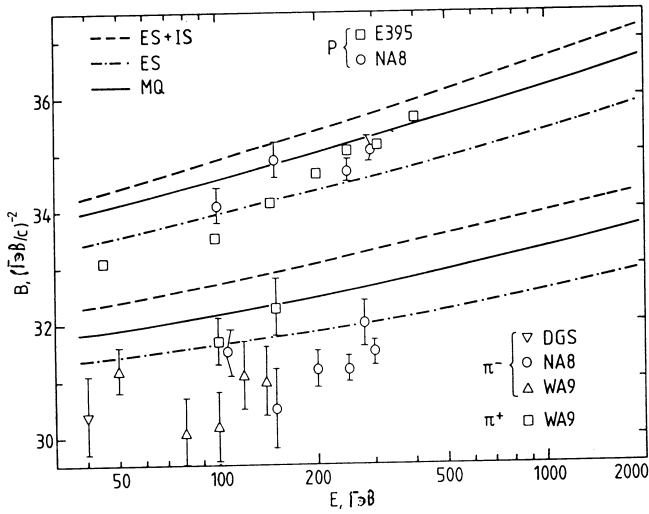
При высоких энергиях налетающий на ядро адрон может неупруго провзаимодействовать с одним из нуклонов и перейти в возбужденное состояние (резонанс или ливень частиц), которое после нескольких перерассеяний может снова перейти в исходный адрон. Применение теории Глаубера при высокой энергии требует учета описанных выше процессов, то есть неупругой экранировки [12]. Расчеты упругого  $p^4\text{He}$ - и  $\pi^4\text{He}$ -рассеяния при высоких энергиях в модели Глаубера с учетом неупругой экранировки, выполненные Дахно и Нико-

лаевым в [13], сравнивались с экспериментальными сечениями, полученными Воробьевым и др. в [14], [15] и Никитиным и др. (1981). В [13] использовалась феноменологическая волновая функция ядра  ${}^4\text{He}$ , взятая в виде произведения одночастичных функций. Показано, что двухчастичные  $NN$ -корреляции, обусловленные отталкивателем кором на малых расстояниях, несущественны в исследуемых процессах. В двух лучших подгонках авторам работы [13] удалось хорошо описать зарядовый формфактор  $\alpha$ -частицы вплоть до  $q^2 = 0.8$  ( $\text{ГэВ}/c$ ) $^2$ , причем учитывались как протонный, так и нейтронный зарядовые формфакторы. Расчетные неопределенности вклада неупругой экранировки в полное сечение не превышают 0.6 мбн [13]. Абсолютно нормированные экспериментальные полные сечения  $\rho\alpha$ -рассеяния [14] систематически превышают во всем измеренном диапазоне энергий на 2–3 мбн рассчитанные сечения, как это видно из рис. 7. Данные по  $\pi\alpha$ -рассеянию несколько менее точны, но превышение в 1–2 мбн экспериментальных полных сечений над теоретическими также является систематическим. После включения в расчет неупругой экранировки теоретически предсказанный наклон  $b$  превышает его экспериментальное значение на величину  $\sim 1$  ( $\text{ГэВ}/c$ ) $^{-2}$ , как это видно из рис. 8. В случае рассеяния пионов на  ${}^4\text{He}$  расхождение в наклонах больше и достигает величины  $\sim 2$  ( $\text{ГэВ}/c$ ) $^{-2}$ .



**Рис. 7.** Сравнение экспериментальных полных  $\rho\alpha$ - и  $\pi\alpha$ -сечений с расчетами. WA9, NA8 – [14], DGS – [15], E395 – Никитин и др (1981). Расчеты: ES – учтена только упругая экранировка, ES+IS – добавлена неупругая экранировка, MQ – добавлен вклад 12 $q$ -мешка.

Для достижения согласия с опытом Дахно и Николаев выдвинули гипотезу о наличии 12% примеси двенадцатикваркового мешка к основному состоянию  ${}^4\text{He}$ . Поскольку радиус 12 $q$ -мешка согласно модели мешков равен  $\sqrt{2}r_p = 1.15$  Фм, что меньше радиуса  ${}^4\text{He}$ , его примесь дает  $\pi 12q$ - и  $p 12q$ -амплитуды, медленнее убывающие с  $|t|$ , чем обычная глауберовская амплитуда. Добавление 12 $q$ -мешка позволяет уменьшить  $b$  и улучшить согласие с экспериментом (см. рис. 8). Вследствие уменьшения  $b$  сдвигается расчетная величина положения дифракционного минимума  $\rho\alpha$  ( $\pi\alpha$ ) дифференциального сечения в область больших  $|t|$  и достигается согласие с опытом. Чтобы понять, почему вырастает полное сечение, обратимся к формуле, описывающей в приближении двухглюонного обмена полное сечение



**Рис. 8.** Сравнение рассчитанных наклонов дифракционного конуса  $\rho\alpha$ - и  $\pi\alpha$ -рассеяния с экспериментальными данными. Описание кривых и данных опыта дано на рис. 7.

для адрона радиуса  $R_h$ , состоящего из  $N_h$  кварков, на мешке радиуса  $R_B$  с  $N_B$  кварками в нем

$$\sigma_{hB} = N_B N_h \pi \alpha_s^2 \frac{R_B^2 R_h^2}{R_B^2 - R_h^2} \ln(R_B^2/R_h^2), \quad (3)$$

где  $\alpha_s$  - константа сильных взаимодействий. Если в (3) положить  $N_B = 3$  и  $R_B = R_N$ , мы получим сечение рассеяния адрона на нуклоне. Отсюда легко найти для отношения сечений нуклона на  $12q$ -мешке к сумме сечений на четырех нуклонах выражение  $\sigma(N - 12q)/[4\sigma(NN)] = \xi(\xi - 1)^{-1} \ln \xi$ , где  $\xi = R_B^2/R_N^2$ . Подставляя сюда  $R_{12q} = \sqrt{2}R_N$ , получим  $\sigma(N - 12q)/[4\sigma(NN)] = 2 \ln 2 \approx 1.4$ . Физическая причина, почему нуклон в 1.4 раза сильнее взаимодействует с  $12q$ -мешком, чем с четырьмя нуклонами состоит в следующем. Обмен глюоном между кварками налетающего нуклона и бесцветной системой (нуклон,  $12q$ -мешок) невозможен для слишком мягких глюонов с длиной волны  $\lambda \geq$  радиуса системы, которые не "видят" отдельных кварков в ней, а взаимодействуют только с полным цветовым зарядом системы, равным нулю. Для взаимодействия налетающего нуклона с нуклоном  $\lambda \geq R_N$ , а с  $12q$ -мешком  $\lambda \geq \sqrt{2}R_N$ , то есть в игру во втором случае вступают более мягкие глюоны, увеличивающие сечение.

Подведем итог обсуждения упругого  $\rho\alpha$ - и  $\pi\alpha$ -рассеяния. При промежуточных энергиях имеется серьезное расхождение рассчитанных на основе теории Глаубера дифференциальных сечений  $p^4\text{He}$ -рассеяния с прецизионными экспериментальными данными в области малых углов рассеяния ( $|t| \leq 0.08 (\text{ГэВ}/c)^2$ ), которое не может быть объяснено поправками к теории. Это расхождение, возможно, связано с тем, что использовавшиеся до сих пор ядерные волновые функции были недостаточно реалистичны. Вполне вероятно, что корректное описание структуры  $\alpha$ -частицы и ее взаимодействия с адронами требует выхода за рамки традиционных представлений о ядре  ${}^4\text{He}$  как о системе четырех нуклонов. При высокой энергии расхождение расчетов с данными опыта по полным сечениям и наклонам удалось устраниТЬ с помощью гипотезы о примеси  $12q$ -мешка к основному состоянию ядра  ${}^4\text{He}$ . Но необходимо проверить эту гипотезу в других явлениях. В идеале волновая функция  ${}^4\text{He}$  должна быть получена в динамической теории кварков. Эта грандиозная задача в настоящее время еще очень далека от реализации.

## А БЮБЦЮК

- [1] A.A.Vorobyov, G.A.Korolev, V.A.Schegelsky, G.Ye.Solyakin, G.L.Sokolov and Yu.K.Zalite. //Nucl. Instr. Meth., 1974. V.119 (No 3) P.509—519.
- [2] A.A.Vorobyov, G.A.Korolev, A.V.Dobrovolsky, A.V.Khanzadeev, G.E.Petrov, E.M.Spiridenkov, Y.Terrien, J.C.Lugol, J.Saudinos, B.H.Silverman and F.Wellers. //Nucl. Instr. Meth., 1988. V.A270 (No 2,3) P.419—430.
- [3] A.V.Dobrovolsky, A.V.Khanzadeev, G.A.Korolev, E.M.Maev, V.I.Medvedev, G.L.Sokolov, N.K.Terentyev, Y.Terrien, G.N.Velichko, A.A.Vorobyov and Yu.K.Zalite. //Nucl. Phys., 1983. V.B214 (No 1) P.1—20.
- [4] B.H.Silverman, J.C.Lugol, J.Saudinos, Y.Terrien, F.Wellers, A.V.Dobrovolsky, A.V.Khanzadeev, G.A.Korolev, G.E.Petrov, E.M.Spiridenkov and A.A.Vorobyov. //Nucl. Phys., 1989. V.A499 (No 4) P.763—788.
- [5] G.D.Alkhazov, S.L.Belostotsky, A.A.Vorobyov. //Phys. Rep., 1978. V.42C (No 2) P.89—144.
- [6] O.G.Grebenuk, A.V.Khanzadeev, G.A.Korolev, S.I.Manayenkov, J.Saudinos, G.N.Velichko and A.A.Vorobyov. //Nucl. Phys., 1989. V.A500 (No 3) P.637—652.
- [7] Г.Н.Величко, А.А.Воробьев, О.Г.Гребенюк, Г.А.Королев, Ж.Содинос, А.В.Ханзадеев. //Ядерная Физика, 1988. Т.47 (вып. 5) С.1185—1292.
- [8] Г.Н.Величко, А.А.Воробьев, А.В.Добровольский, Г.А.Королев, С.И.Манаенков, Ж.Содинос, А.В.Ханзадеев. //Ядерная Физика, 1985. Т.42 (вып. 6) С.1325—1336.
- [9] Г.Д.Алхазов, С.Л.Белостоцкий, Ю.В.Доценко, О.А.Домченков, Н.П.Куропаткин, В.Н.Никулин. //Ядерная Физика, 1985. Т.41 (вып. 3) С.561—572.
- [10] С.И.Манаенков. //Ядерная Физика, 1993. Т.56 (вып. 11) С.126—129.
- [11] С.И.Манаенков. //Ядерная Физика, 1988. Т.48 (вып. 5) С.1260—1272.
- [12] В.Н.Грибов. //ЖЭТФ, 1969. Т.56 (вып. 3) С.892—901.
- [13] L.G.Dakhno and N.N.Nikolaev. //Nucl. Phys., 1985. V.A436 (No 4) P.653—687.
- [14] J.P.Burq, M.Chemarin, M.Chevallier, A.S.Denisov, T.Ekelof, J.Fay, P.Grafstrom, L.Gustafsson, E.Hagberg, B.Ille, A.P.Kashchuk, G.A.Korolev, A.V.Kulikov, M.Lambert, J.P.Martin, S.Maury, J.L.Paumier, M.Querrou, V.A.Schegelsky, I.I.Tkach, M.Verbeke and A.A.Vorobyov. //Nucl. Phys., 1981. V.B187 (No 2) P.205—230.
- [15] В.Г.Аблееев, В.Д.Апокин, А.А.Воробьев, Г.Н.Величко, Ю.К.Залите, Г.А.Королев, Е.М.Маев, Ю.А.Матуленко, С.Б.Нурушеев, Н.М.Пискунов, В.С.Селезнев, В.В.Сиксин, И.М.Ситник, В.Л.Соловьевич, Е.А.Строковский, Л.Н.Струнов, Н.К.Терентьев, А.В.Ханзадеев, В.И.Шаров, В.А.Щегельский. //Ядерная Физика, 1981. Т.34 (вып. 3) С.769—776.